

ФЕДЕРАЛЬНОЕ АГЕНТСТВО ВОЗДУШНОГО ТРАНСПОРТА  
ФЕДЕРАЛЬНОЕ ГОСУДАРСТВЕННОЕ БЮДЖЕТНОЕ  
ОБРАЗОВАТЕЛЬНОЕ УЧРЕЖДЕНИЕ ВЫСШЕГО ОБРАЗОВАНИЯ  
«МОСКОВСКИЙ ГОСУДАРСТВЕННЫЙ ТЕХНИЧЕСКИЙ  
УНИВЕРСИТЕТ ГРАЖДАНСКОЙ АВИАЦИИ» (МГТУ ГА)

---

Кафедра аэродинамики, конструкций и прочности  
летательных аппаратов

В.В. Ефимов, М.Г. Ефимова

## КОНСТРУКЦИЯ И ПРОЧНОСТЬ САМОЛЕТА

**Учебно-методическое пособие**  
по выполнению практических занятий

*для студентов IV курса  
направления 25.03.01  
всех форм обучения*

Москва  
ИД Академии Жуковского  
2018

УДК 629.7.02(07)  
ББК 052-021.1  
E91

Рецензент:  
*Ципенко В.Г.* – д-р техн. наук, проф.

**E91 Ефимов В.В.**  
Конструкция и прочность самолета [Текст] : учебно-методическое пособие по выполнению практических заданий / В.В. Ефимов, М.Г. Ефимова. – М.: ИД Академии Жуковского, 2018. – 16 с.

Данное учебно-методическое пособие издается в соответствии с рабочей программой учебной дисциплины «Конструкция и прочность самолета» по учебному плану для студентов IV курса направления 25.03.01 всех форм обучения.

Рассмотрено и одобрено на заседании кафедры 10.04.2018 г. и методического совета 18.04.2018 г.

**УДК 629.7.02(07)  
ББК 052-021.1**

*B авторской редакции*

Подписано в печать 19.06.2018 г.  
Формат 60x84/16 Печ. л. 1 Усл. печ. л. 0,93  
Заказ № 331/0604-УМП02 Тираж 80 экз.

Московский государственный технический университет ГА  
125993, Москва, Кронштадтский бульвар, д. 20

Издательский дом Академии имени Н. Е. Жуковского  
125167, Москва, 8-го Марта 4-я ул., д. 6А  
Тел.: (495) 973-45-68  
E-mail: [zakaz@itsbook.ru](mailto:zakaz@itsbook.ru)

**Содержание**

Введение.....	4
Рекомендуемая литература.....	4
ПРАКТИЧЕСКОЕ ЗАНЯТИЕ № 1 Расчет маневренных перегрузок.....	5
ПРАКТИЧЕСКОЕ ЗАНЯТИЕ № 2 Расчет перегрузок при полете в неспокойном воздухе.....	8
ПРАКТИЧЕСКОЕ ЗАНЯТИЕ № 3 Определение нагрузок, действующих на крыло.....	9
ПРАКТИЧЕСКОЕ ЗАНЯТИЕ № 4 Расчет на прочность силовых элементов крыла.....	11
ПРАКТИЧЕСКОЕ ЗАНЯТИЕ № 5 Определение нагрузок на подвижные части крыла.....	15

## **Введение**

Настоящее пособие издается в соответствии с учебным планом подготовки бакалавров по направлению 25.03.01 – «Техническая эксплуатация летательных аппаратов и двигателей». Оно содержит в себе задания для выполнения на практических занятиях по дисциплине «Конструкция и прочность самолета», которые призваны помочь закреплению теоретического материала и получению практических навыков по изучаемой дисциплине.

На занятиях каждый студент должен иметь линейку, ластик, карандаш, калькулятор с полным набором функций, листы миллиметровки формата А4.

Отчет по практическому занятию должен быть индивидуальным и аккуратно оформленным. Допускается оформлять отчеты в отдельной тетради. Все записи должны быть выполнены ручкой, а чертежи и графики – только карандашом. В конце каждого отчета по практическому занятию должны стоять дата, фамилия и подпись студента.

Отчет о выполнении практического занятия в конце занятия защищается перед преподавателем, который, в случае успешной защиты, ставит свою подпись. Студенты, пропустившие практическое занятие, в том числе по уважительной причине, должны получить у преподавателя задание для отработки.

## **Рекомендуемая литература**

1. Ефимов В.В., Чернигин К.О. Конструкция и прочность самолета: учебное пособие. – М.: МГТУ ГА, 2016. – 56 с.
2. Ефимов В.В., Ефимова М.Г., Чернигин К.О. Конструкция и прочность самолета. Крыло: учебное пособие. – М.: ИД Академии Жуковского, 2018. – 76 с.
3. Житомирский Г.И. Конструкция самолетов. – М.: Машиностроение, 2005. – 416 с.: ил.
4. Конструкция и прочность летательных аппаратов гражданской авиации: Учебник для вузов гражданской авиации / М.С. Воскобойник, П.Ф. Максютинский, К.Д. Миртов и др.; Под общ. ред. К.Д. Миртова, Ж..С. Черненко. – М.: Машиностроение, 1991. – 448 с.: ил.
5. Ефимов В.В. Динамика и прочность авиационных конструкций: учебное пособие. Часть I. – М.: МГТУ ГА, 2013. – 70 с.
6. Ефимов В.В. Динамика и прочность авиационных конструкций: учебное пособие. Часть II. – М.: МГТУ ГА, 2014. – 72 с.
7. Феодосьев В.И. Сопротивление материалов: Учеб. для вузов. – 10-е изд., перераб. и доп. – М.: Изд-во МГТУ им. Н.Э. Баумана, 1999. – 592 с.

## ПРАКТИЧЕСКОЕ ЗАНЯТИЕ № 1

### Расчет маневренных перегрузок

#### **Задача 1.1**

Д а н о : самолет совершают установившийся прямолинейных полет в горизонтальной плоскости.

Н а й т и : продольную и нормальную перегрузки.

#### **Задача 1.2**

Д а н о : самолет совершают перевернутый установившийся прямолинейных полет в горизонтальной плоскости.

Н а й т и : нормальную перегрузку.

#### **Задача 1.3**

Д а н о : самолет совершают отвесное пикирование.

Н а й т и : продольную перегрузку при:

- установившемся отвесном пикировании;
- равенстве тяги двигателей продольной аэродинамической силе.

#### **Задача 1.4**

Д а н о : самолет совершают установившийся прямолинейный набор высоты с углом наклона траектории  $19^{\circ}$ .

Н а й т и : продольную, нормальную и полную перегрузки.

#### **Задача 1.5**

Д а н о : самолет входит в пикирование из установившегося горизонтального полета на скорости  $V$ , при этом он движется по дуге окружности с радиусом  $R$  (таблица 1.1).

Таблица 1.1

Варианты исходных данных

Параметры	Вариант 1	Вариант 2	Вариант 3	Вариант 4
Скорость полета $V$ , км/ч	360	380	400	420
Радиус траектории $R$ , м	500	600	700	800

Н а й т и : нормальную перегрузку в точках 1, 2 (при угле наклона траектории  $\theta = 60^{\circ}$ ) и 3, считая скорость полета неизменной (рис. 1.1).

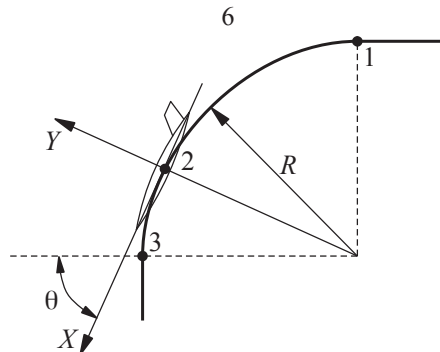


Рис. 1.1. К задаче 1.5

### Задача 1.6

Дано: самолет выходит из установившегося отвесного пикирования на скорости  $V$ , при этом он движется по дуге окружности с радиусом  $R$  (таблица 1.2).

Таблица 1.2

Варианты исходных данных

Параметры	Вариант 1	Вариант 2	Вариант 3	Вариант 4
Скорость полета $V$ , км/ч	720	740	760	780
Радиус траектории $R$ , м	1500	1700	1900	2100

Найти: нормальную перегрузку в точках 1, 2 (при угле наклона траектории  $\theta = 45^\circ$ ) и 3, считая скорость полета неизменной (рис. 1.2).

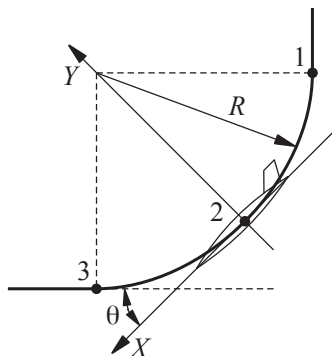


Рис. 1.2. К задаче 1.6

**Задача 1.7**

Дано: самолет совершает правильный вираж.

Найти: нормальную перегрузку, если угол крена составляет:

- а)  $\gamma = 0^\circ$ ;
- б)  $\gamma = 15^\circ$ ;
- в)  $\gamma = 45^\circ$ ;
- г)  $\gamma = 60^\circ$ .

**Задача 1.8**

Дано: самолет совершает правильный вираж, двигаясь по дуге окружности с радиусом  $R_b$  на скорости  $V$  (таблица 1.3).

Найти: угол крена и нормальную перегрузку.

Таблица 1.3

## Варианты исходных данных

Параметры	Вариант 1	Вариант 2	Вариант 3	Вариант 4
Скорость полета $V$ , км/ч	720	760	800	840
Радиус виража $R_b$ , м	2000	2400	2800	3200

**Задача 1.9**

Дано: самолет совершает маневр на высоте  $H$  при скорости полета  $V$ . Необходимые исходные данные представлены в таблице 1.4.

Таблица 1.4

## Варианты исходных данных

Параметры	Вариант 1	Вариант 2	Вариант 3	Вариант 4
Высота полета $H$ , м	1000	1500	2000	2500
Плотность воздуха на высоте полета $\rho$ , кг/м <sup>3</sup>	1,112	1,058	1,006	0,957
Скорость полета $V$ , км/ч	360	400	440	300
Максимальный коэффициент нормальной аэродинамической силы крыла $c_{y \max}$	1,5	1,4	1,3	1,4
Масса самолета $m$ , кг	73500	49400	38000	16000
Площадь крыла $S_{kp}$ , м <sup>2</sup>	125	90	75	70

Найти: максимальную нормальную перегрузку, которую способен развить самолет при данных условиях.

## ПРАКТИЧЕСКОЕ ЗАНЯТИЕ № 2

### Расчет перегрузок при полете в неспокойном воздухе

#### **Задача 2.1**

Дано: самолет совершают установившийся горизонтальный прямолинейный полет со скоростью  $V$ , на него воздействует встречный горизонтальный порыв ветра со скоростью  $U$  (таблица 2.1).

Таблица 2.1

Варианты исходных данных

Параметры	Вариант 1	Вариант 2	Вариант 3	Вариант 4
Скорость полета $V$ , км/ч	850	875	900	925
Скорость порыва $U$ , м/с	8	10	15	17

Найти: нормальную перегрузку при условии, что скорость порыва нарастает мгновенно.

#### **Задача 2.2**

Дано: самолет совершают установившийся горизонтальный прямолинейный полет со скоростью  $V$  на высоте  $H$ , на него воздействует вертикальный восходящий порыв ветра со скоростью  $U$ . Необходимые исходные данные представлены в таблице 2.2.

Таблица 2.2

Варианты исходных данных

Параметры	Вариант 1	Вариант 2	Вариант 3	Вариант 4
Высота полета $H$ , м	5000	10000	5000	10000
Плотность воздуха на высоте полета $\rho$ , кг/м <sup>3</sup>	0,736	0,414	0,736	0,414
Скорость полета $V$ , км/ч	600	900	600	900
Масса самолета $m$ , кг	49000	49000	73500	73500
Площадь крыла $S$ , м <sup>2</sup>	90	90	125	125
Размах крыла $l$ , м	28	28	34	34
Производная коэффициента нормальной аэродинамической силы крыла по углу атаки $c_y^a$	5	5	5,5	5,5
Скорость порыва $U$ , м/с	15	10	15	10

Найти: нормальную перегрузку при условии, что скорость порыва нарастает мгновенно.

## ПРАКТИЧЕСКОЕ ЗАНЯТИЕ № 3

### Определение нагрузок, действующих на крыло

#### Задача 3.1

Дано: параметры самолета и его частей (таблица 3.1, рис. 3.1), эксплуатационная перегрузка  $n^3 = 3,8$ , коэффициент безопасности  $f = 1,5$ .

Таблица 3.1

Варианты исходных данных

Параметр	Вариант 1	Вариант 2	Вариант 3	Вариант 4
Масса самолета $m$ , кг	73000	49400	38000	16000
Масса конструкции крыла $m_{kp}$ , кг	7000	5000	3800	1600
Масса топлива в крыльевых баках $m_t$ , кг	18000	10000	7700	3000
Масса одной опоры шасси $m_{sh}$ , кг	700	500	380	160
Масса одного двигателя $m_{dv}$ , кг	2010	1800	950	400
Тяга одного двигателя, кгс	10950	7400	5700	2400
Центральная хорда крыла $b_0$ , м	6	5,2	4,8	4
Концевая хорда крыла $b_k$ , м	3	2,6	2,4	2
Размах крыла $l$ , м	34	28	26	24
Центральная хорда топливного бака $b_{0b}$ , м	4	3,8	3,4	2,4
Концевая хорда топливного бака $b_{kb}$ , м	2	1,8	1,6	1,2
Размах топливного бака $l_b$ , м	30	24	22	20
Диаметр фюзеляжа $d_\phi$ , м	4	3,8	3,4	2,4

Продолжение таблицы 3.1

Параметр	Вариант 1	Вариант 2	Вариант 3	Вариант 4
Положение ц.м. двигателя:				
$a_{\text{дв}}$ , м	4	3,8	3,4	2,4
$l_{\text{дв}}$ , м	12	10,6	10	8,8
Плечо тяги $h_{\text{дв}}$ , м	1	0,8	0,6	0,4
Положение ц.м. шасси:				
$a_{\text{ш}}$ , м	1	0,8	0,6	0,4
$l_{\text{ш}}$ , м	8	7,4	7	6

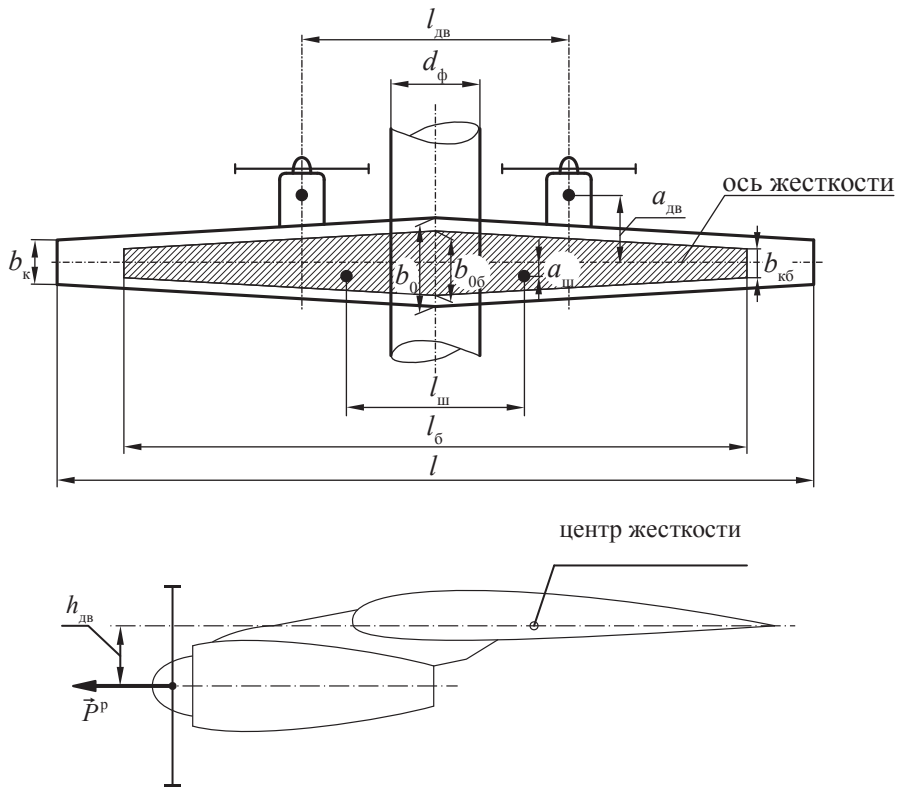


Рис. 3.1. К задаче 3.1

Построить: эпюры расчетной суммарной погонной нагрузки  $q_{\Sigma}^p$ , расчетной поперечной силы  $Q_y^p$ , расчетного изгибающего момента  $M_x^p$ , расчетного крутящего момента  $M_z^p$  по размаху крыла. Расчеты производить с шагом 2 м. При расчете погонной аэродинамической нагрузки  $q_{\text{аэ}}^p$  принять, что коэффициент нормальной аэродинамической силы сечения крыла равен коэффициенту нормальной аэродинамической силы крыла в целом:  $c_{y \text{ сеч}} = c_y$ . Опоры крыла на фюзеляже считать шарнирными. Координаты центров жесткости  $x_{\text{ж}}$ , давления  $x_d$ , массы конструкции крыла  $x_{\text{ц.м.к}}$ , массы топлива  $x_{\text{ц.м.т}}$  от носка текущей хорды  $b_{\text{сеч}}$  принять следующими:

- $x_{\text{ж}} = 0,50 b_{\text{сеч}}$ ;
- $x_d = 0,25 b_{\text{сеч}}$ ;
- $x_{\text{ц.м.к}} = 0,45 b_{\text{сеч}}$ ;
- $x_{\text{ц.м.т}} = 0,40 b_{\text{сеч}}$ .

Текущую хорду определять по формулам:

$$b_{\text{сеч}} = \frac{2(b_0 - b_k)}{l} z + b_k \quad \text{для левого полукрыла};$$

$$b_{\text{сеч}} = -\frac{2(b_0 - b_k)}{l} z - b_k + 2b_0 \quad \text{для правого полукрыла}.$$

## ПРАКТИЧЕСКОЕ ЗАНЯТИЕ № 4

### Расчет на прочность силовых элементов крыла

#### Задача 4.1

Дано: расчетная схема сечения силовой части крыла (поперечное сечение условно принято прямоугольным) (рис. 4.1) с параметрами и действующими силовыми факторами, представленными в таблице 4.1. На рис. 4.2 показано поперечное сечение стрингера с присоединенной полоской обшивки. Все элементы панели изготовлены из алюминиевого сплава Д16Т, характеристики которого приведены в таблице 4.2.

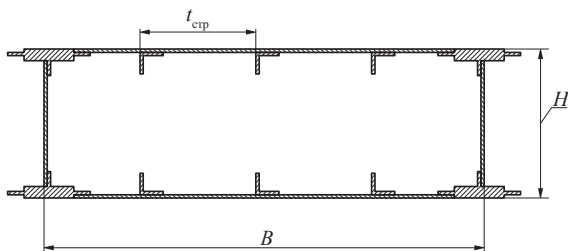


Рис. 4.1. Расчетная схема сечения силовой части крыла (к задаче 4.1)

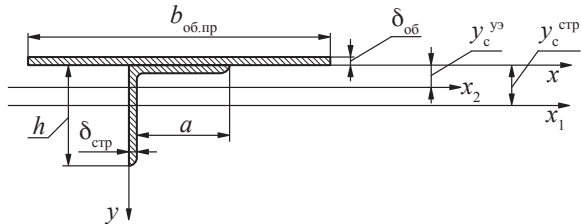


Рис. 4.2. Стингер с присоединенной полоской обшивки (условный элемент)

Таблица 4.1

## Варианты исходных данных

Параметры и силовые факторы	Вариант 1	Вариант 2	Вариант 3	Вариант 4
Изгибающий момент $M_x^P$ , кгс · мм	$1,0 \cdot 10^7$	$1,2 \cdot 10^7$	$1,5 \cdot 10^7$	$1,5 \cdot 10^7$
Крутящий момент $M_z^P$ , кгс · мм	$8,0 \cdot 10^5$	$8,5 \cdot 10^5$	$9,0 \cdot 10^5$	$9,0 \cdot 10^5$
Ширина кессона $B$ , мм	540	600	700	800
Высота кессона $H$ , мм	180	200	220	230
Шаг нервюра $t_n$ , мм	500	500	500	500
Шаг стрингеров $t_{стр}$ , мм	135	150	175	200
Толщина обшивки $\delta_{об}$ , мм	2	2	2	2
Толщина полок стрингера $\delta_{стр}$ , мм	2	2	2,5	3
Ширина полки стрингера $h$ , мм	20	28	28	30
Ширина полки стрингера $a$ , мм	18	26	25,5	27

Таблица 4.2

## Характеристики сплава Д16Т

Характеристика	Величина
Предел прочности при растяжении-сжатии $\sigma_b$ , кгс/мм <sup>2</sup>	40
Предел пропорциональности при растяжении-сжатии $\sigma_{пп}$ , кгс/мм <sup>2</sup>	25
Предел прочности при сдвиге $\tau_b$ , кгс/мм <sup>2</sup>	28
Предел пропорциональности при сдвиге $\tau_{пп}$ , кгс/мм <sup>2</sup>	16
Модуль упругости $E$ , кгс/мм <sup>2</sup>	7200
Коэффициент Пуассона $\mu$	0,3

**Н а й т и :** допустимые и действующие напряжения в панели, работающей на сжатие и сдвиг, при условии, что 75% изгибающего момента воспринимают лонжероны крыла. Сделать заключение о прочности панели.

Опирание стрингера на нервюры считать шарнирным.

Геометрические характеристики сечений элементов панели определять по формулам:

$$S_x^{\text{стп}} = \frac{\delta_{\text{стп}}(h^2 + a\delta_{\text{стп}})}{2} - \text{статический момент поперечного сечения стрингера}$$

относительно оси  $x$  (рис. 4.2);

$$S_x^{\text{об.пр}} = -\frac{b_{\text{об.пр}}\delta_{\text{об}}^2}{2} - \text{статический момент поперечного сечения приведенной полоски обшивки относительно оси } x \text{ (где } b_{\text{об.пр}} \text{ – приведенная ширина полоски обшивки);}$$

$S_x^{\text{y3}} = S_x^{\text{стп}} + S_x^{\text{об.пр}}$  – статический момент поперечного сечения условного элемента относительно оси  $x$ ;

$$y_c^{\text{стп}} = \frac{S_x^{\text{стп}}}{F^{\text{стп}}} - \text{координата центра тяжести сечения стрингера относительно оси } x \text{ (где } F^{\text{стп}} \text{ – площадь поперечного сечения стрингера);}$$

$$y_c^{\text{y3}} = \frac{S_x^{\text{y3}}}{F^{\text{y3}}} - \text{координата центра тяжести сечения условного элемента относительно оси } x \text{ (где } F^{\text{y3}} \text{ – площадь поперечного сечения условного элемента);}$$

$$I_x^{\text{стп}} = \frac{\delta_{\text{стп}}(h^3 + a\delta_{\text{стп}}^2)}{3} - \text{момент инерции поперечного сечения стрингера относительно оси } Ox;$$

$$I_x^{\text{об.пр}} = \frac{b_{\text{об.пр}}\delta_{\text{об}}^3}{3} - \text{момент инерции поперечного сечения приведенной полоски обшивки относительно оси } x;$$

$$I_{x1}^{\text{стп}} = I_x^{\text{стп}} - 2y_c^{\text{стп}}S_x^{\text{стп}} + (y_c^{\text{стп}})^2F^{\text{стп}} - \text{момент инерции поперечного сечения стрингера относительно центральной оси } x_1, \text{ параллельной оси } x;$$

$$I_x^{\text{y3}} = I_x^{\text{стп}} + I_x^{\text{об.пр}} - \text{момент инерции поперечного сечения условного элемента относительно оси } x;$$

$$I_{x2}^{\text{y3}} = I_x^{\text{y3}} - 2y_c^{\text{y3}}S_x^{\text{y3}} + (y_c^{\text{y3}})^2F^{\text{y3}} - \text{момент инерции поперечного сечения условного элемента относительно центральной оси } x_2, \text{ параллельной оси } x.$$

**Задача 4.2**

Дано: расчетная схема сечения силовой части крыла (рис. 4.3) с параметрами и действующими силовыми факторами, представленными в таблице 4.3.

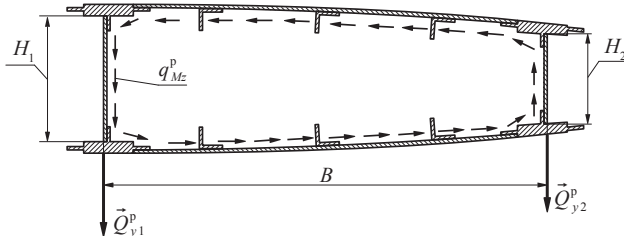


Рис. 4.3. Расчетная схема сечения силовой части крыла (к задаче 4.2)

Таблица 4.3

Варианты исходных данных

Параметры и силовые факторы	Вариант 1	Вариант 2	Вариант 3	Вариант 4
Поперечная сила $Q_y^p$ , кгс	10000	12000	14000	16000
Крутящий момент $M_z^p$ , кгс · мм	$6,0 \cdot 10^6$	$6,5 \cdot 10^6$	$7,0 \cdot 10^6$	$7,5 \cdot 10^6$
Ширина кессона $B$ , мм	600	650	700	750
Высота стенки переднего лонжерона $H_1$ , мм	180	200	210	220
Высота стенки заднего лонжерона $H_2$ , мм	160	180	195	200
Шаг нервюра $t_n$ , мм	500	500	500	500
Толщина стенок лонжеронов $\delta_{ст}$ , мм	3	3	3	3

Найти: действующие и допустимые напряжения в стенке переднего (первого) лонжерона крыла без стоек и при наличии стоек на стенке лонжерона с шагом  $t_{стоец} = 100$  мм. Сделать заключение о прочности стенки в этих двух случаях.

Опирание стенки лонжерона по всем сторонам считать шарнирным.

Поперечную силу  $Q_y^p$  распределить между лонжеронами крыла пропорционально их жесткости на изгиб (с целью сокращения расчетов допускается распределить ее пропорционально квадратам высот стенок лонжеронов):

$$Q_{yj}^p = Q_y^p \frac{H_j^2}{\sum_j H_j^2}, \text{ где } j - \text{ порядковый номер лонжерона.}$$

Площадь контура поперечного сечения крыла приближенно определить по формуле:

$$\omega = \frac{H_1 + H_2}{2} B.$$

### Задача 4.3

Дано: расчетная схема сечения силовой части крыла (поперечное сечение условно принято прямоугольным) с кронштейном навески элерона (рис. 4.4) с параметрами и действующими силовыми факторами, представленными в таблице 4.4.

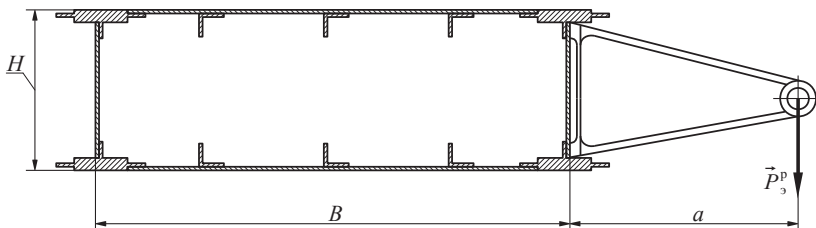


Рис. 4.4. Расчетная схема сечения силовой части крыла (к задаче 4.3)

Таблица 4.4

#### Варианты исходных данных

Параметры и силовые факторы	Вариант 1	Вариант 2	Вариант 3	Вариант 4
Сила от элерона $P_s^p$ , кгс	350	400	450	500
Ширина кессона $B$ , мм	600	650	700	750
Высота кессона $H$ , мм	180	200	210	220
Длина кронштейна $a$ , мм	500	500	500	500

Построить: эпюры поперечных сил и изгибающих моментов усиленной нервюры, которая должна быть установлена в данном сечении для восприятия сосредоточенной нагрузки от элерона.

## ПРАКТИЧЕСКОЕ ЗАНЯТИЕ № 5

### Определение нагрузок на подвижные части крыла

#### Задача 5.1

Дано: на элерон, отклоненный на угол  $\delta$ , действует распределенная аэродинамическая нагрузка (рис. 5.1). По хорде элерона распределение нагрузки имеет вид трапеции с основаниями  $Y_1^p$  и  $Y_2^p$ , по размаху элерона нагрузка

распределена равномерно. Необходимые для расчета исходные данные представлены в таблице 5.1.

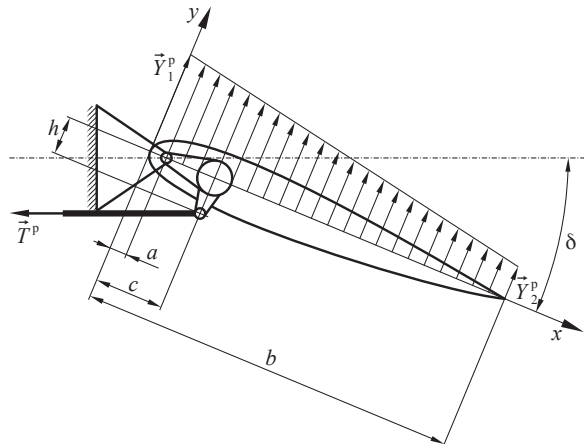


Рис. 5.1. К задаче 5.1

Таблица 5.1

Варианты исходных данных

Параметры и силовые факторы	Вариант 1	Вариант 2	Вариант 3	Вариант 4
Нагрузка $Y_1^p$ , кгс/мм <sup>2</sup>	$9,0 \cdot 10^{-4}$	$8,0 \cdot 10^{-4}$	$8,5 \cdot 10^{-4}$	$8,7 \cdot 10^{-4}$
Нагрузка $Y_2^p$ , кгс/мм <sup>2</sup>	$3,0 \cdot 10^{-4}$	$2,5 \cdot 10^{-4}$	$2,8 \cdot 10^{-4}$	$2,9 \cdot 10^{-4}$
Координата узла навески $a$ , мм	90	100	130	110
Хорда элерона $b$ , мм	350	400	600	550
Размах элерона $l$ , мм	1800	2000	3000	2800
Координаты точки крепления тяги: $c$ , мм	120	150	200	300
$h$ , мм	90	100	120	150
Угол отклонения элерона $\delta$ , град	30	22	25	20

Н а й т и : расчетную величину силы  $T^p$  в тяге проводки управления элероном, необходимую для уравновешивания шарнирного момента, а также суммарную реакцию опор в узлах навески элерона.

Координату точки приложения равнодействующей аэродинамической нагрузки по оси  $x$  определить как координату центра тяжести трапеции:

$$x_{\text{цт}} = b - \frac{b(2Y_1^p + Y_2^p)}{3(Y_1^p + Y_2^p)}.$$